

Khalil
MOUSA

PST

I) Champ magnétique

1) Équation de Maxwell et magnétostatique

$$\operatorname{div} \vec{B} = 0 \quad (\text{HT})$$

$$\operatorname{rot} \vec{B} = \mu_0 \vec{j} + \epsilon_0 \mu_0 \frac{\partial \vec{E}}{\partial t} \quad (\text{MA})$$

En régime stationnaire :

$$\operatorname{rot} \vec{B} = \mu_0 \vec{j}$$

Le relie \vec{B} à la source du champ \rightarrow la distribution de courant

$B = 30 \text{ T}$ bobin supercond.

Au labo $B \approx 10^{-3} \text{ T}$

Champ magnétique terrestre $B \approx 10^{-5} \text{ T}$

2) Théorème d'Ampère & équation intégrale



$$\oint_C \vec{B} \cdot d\vec{l} = \mu_0 I_{\text{int}}$$

La circulation de \vec{B} à travers un contour fermé est égale à μ_0 \otimes la somme algébrique des courants enlacés par C !

⚠ L'orientation de C arbitrairement choisie définit le signe des courants !

Remarque : On peut prendre n'importe quelle S qui s'appuie sur C .

①

3) Conservation du flux magnétique

$$\operatorname{div} \vec{B} = 0 \rightarrow \text{flux conservatif}$$

Les lignes de champ \vec{B} se resserrent quand la somme de B \nearrow .

Remarque : On peut définir un potentiel vecteur magnétique A / $\vec{B} = \operatorname{rot} A$ (tth phys.)

II) Symétries du champ \vec{B}

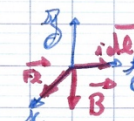
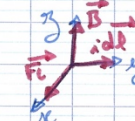
1) Caractère axial de \vec{B}

Le sens de \vec{B} dépend de l'orientation de l'espace

Le vecteur axial ou pseudo-vecteur (tant de $\operatorname{rot} \vec{B} = \mu_0 \vec{j}$ (\vec{B} est définie par un produit vectoriel.))

$$\text{Force de Laplace : } \vec{F}_{\text{lapl.}} = i \vec{dl} \wedge \vec{B}$$

Une force ne dépend pas de l'orientation de l'espace.



on change l'orientation du repère direct.

$$\vec{e}_y \wedge \vec{e}_z = \vec{e}_x \rightarrow (x, y, z) \text{ direct}$$

$$\vec{F}_1 = i \vec{dl} \wedge \vec{B}$$

$$\vec{F}_2 = i \vec{dl} \wedge \vec{B}$$

$$\vec{F}_3 = i \vec{dl} \wedge \vec{B}$$

$$(y, x, z) \text{ direct} \rightarrow \vec{e}_z \wedge \vec{e}_y = \vec{e}_x$$

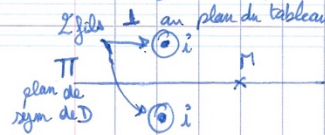
$$\vec{F}_1 = i \vec{dl} \wedge \vec{B}$$

$$\vec{F}_2 = i \vec{dl} \wedge \vec{B}$$

$$\vec{F}_3 = i \vec{dl} \wedge \vec{B}$$

2) Symétries planes et invariance

→ Symétries planes (isométrie négative)



ME \rightarrow TI symétrique
 $\vec{B} \perp$ à TI symétrique

$$\textcircled{1} i: M \uparrow \vec{B}(M)$$

$M \not\in$ au plan

$$\textcircled{2} i: M \uparrow \vec{B}(m)$$

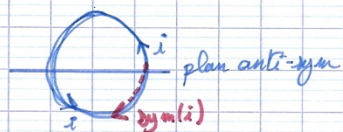
$$\vec{B}(m') = -\text{sym}(\vec{B}(m))$$

\vec{B} pair!

$\textcircled{3} i$

$\pi_{\text{anti-sym}}$

$\textcircled{4} i$



Ajouter le cas d'un fil

$M \not\in \pi_{\text{anti-sym}}$
 $\vec{B}(M) \in \text{à ce plan}$

$M \not\in$ au plan $\vec{B}(M)$

$\pi_{\text{anti-sym}}$

$\textcircled{5} i$

$$\vec{B}(m')$$

$$\vec{B}(m') = \text{sym}(\vec{B}(m))$$

\rightarrow Invariances par translation et par rotation (isométrie positive)

M comportent que pour \vec{E} .

$$\textcircled{3}) \text{ rot } \vec{B} = \mu_0 \vec{J}$$

\hookrightarrow règle de la main droite



\vec{B} selon "pinc"

III) Champ \vec{B} créé par des distributions de courant à haut degré de symétrie.

Méthode :

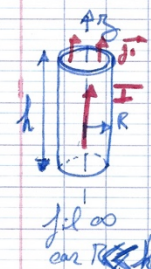
\rightarrow simplifier l'expression générale de \vec{B}

\hookrightarrow symétries et invariance (planes)

\rightarrow utilisation du théorème d'Ampère.

On choisit un L fermé qui correspond à une ligne de champ. Ainsi: \vec{B} colinéaire à dL !

1) Cas du fil épaiss et ∞ parcouru par I.



$$\rightarrow I = j_0 S = j_0 \pi R^2$$

\rightarrow symm plane

• Tant plan contenant M et Oz est plan de symm.

$\vec{B} \perp$ à ce plan

$$\vec{B} = \vec{B}(M) \perp \vec{Oz}$$

Remarque : Tant plan \perp à Oz contenant M est plan d'anti-sym $\rightarrow \vec{B} \in$ à ce plan.

$$\vec{B} = B_r \hat{e}_r + B_\theta \hat{e}_\theta \rightarrow B_\theta = 0$$

Mais insuffisant!

\rightarrow Invariances

Invariance par translation selon z par rotation selon $\theta \rightarrow \vec{B} = \vec{B}(r, \theta, z) \hat{e}_\theta$

$$\vec{B} = \vec{B}(r) \hat{e}_\theta \rightarrow$$
 lignes de champs

$\hookrightarrow \text{div } \vec{B} = 0$!

\hookrightarrow règle de main droite vérifiée



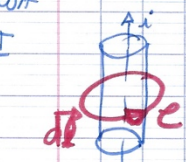
Khalil
MOUSA

PSI

→ Théorème d'Ampère : $\oint \vec{B} \cdot d\vec{l} = \mu_0 I$ dans le sens de la courant

$$\oint \vec{B} \cdot d\vec{l} = \oint B(r) \hat{e}_\theta \cdot d\vec{l} \hat{e}_\theta$$
$$= \oint B(r) dl = Bl$$

B uniforme sur C



$$dl = d\vec{l} \hat{e}_\theta$$

$$\oint \vec{B} \cdot d\vec{l} = B \cdot 2\pi r$$

→ $r > R$ = à l'ext de \mathcal{D}



$$I_{\text{int}} = I = \mu_0 \pi R^2$$

$$B \times 2\pi r = \mu_0 I \quad (= \mu_0 \mu_0 \pi R^2)$$

$$\vec{B} = \frac{\mu_0 I \hat{e}_\theta}{2\pi r}$$

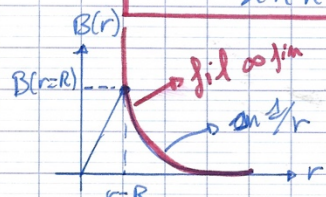
→ $r < R$ = à l'int de la \mathcal{D}



$$I_{\text{int}} = \mu_0 \pi r^2 = \frac{I r^2}{R^2}$$

$$B \times 2\pi r = \mu_0 \frac{I r^2}{R^2}$$

$$\vec{B} = \frac{\mu_0 I r \hat{e}_\theta}{2\pi R^2}$$



→ fil de fin
en $1/r$
 \vec{B} comportant que \hat{e}_θ !
- champ continu
- décroit en $1/r$ à l'ext

②

→ Passage au fil de fin

1)

$R \rightarrow 0$ avec I donne fini

($\vec{r} \rightarrow +\infty \rightarrow$ distribution de Dirac)

$$B \times 2\pi r = \mu_0 I$$

$$\vec{B} = \frac{\mu_0 I \hat{e}_\theta}{2\pi r} \rightarrow$$
 divergence qd $r \rightarrow 0$

2) Cas de la bobine torique

Toutes les spires sont en série pour le même courant I statique.

Sur la surface intérieure de longueur $2\pi R$, avec N spires enroulées en tout :

$$n = \frac{N}{l} = \frac{N}{2\pi R}$$

Le nbr d'enroulement par unité de longueur

→ symétries et invariances

Tout plan contenant Oz et M est plan de sym de \mathcal{D}

↪ $\vec{B} \perp$ à ce plan

$$\vec{B} = B(r, \theta, z) \hat{e}_\theta$$

invariance par rotation selon θ
(pas selon z ! car $R \neq 0$!)

$$\vec{B} = B(r, z) \hat{e}_\theta \rightarrow$$
 lignes de champ cercles

On choisit C cercle de centre O .

Pour $|z| > \frac{a}{2}$ $I_{\text{int}} = 0$!
 $\vec{B} = \vec{0}$!

On se place $-\frac{a}{2} < z < \frac{a}{2}$



- pour $|z| < R \Rightarrow C_1$

$$I_{\text{int}} = 0 \quad \vec{B} = \vec{0}!$$

- pour $R < r < R+a \Rightarrow C_2$

$$I_{\text{int}} = NI$$

- pour $|z| > R+a \Rightarrow C_3$

$$I_{\text{int}} = NI - NI = 0! \quad \vec{B} = \vec{0}!$$

Le changement est à la bobine est nul! (AM)!

À l'intérieur de la bobine: $\oint \vec{B} \cdot d\vec{l} = B \times 2\pi r$

$$\text{Pour } C_2 \Rightarrow I_{\text{int}} = NI$$

$$B \times 2\pi r = \mu_0 NI$$

$$B(r) = \frac{\mu_0 NI}{2\pi r} \quad \text{à l'int!}$$

$$\vec{B}_{\text{ext}} = \vec{0}$$

- le champ \vec{B} est discontinu car présence d'une distribution surfacique de courants ou \vec{B}
- ce résultat est valable à la géom. de la section du tore.

3) de solénoïde

→ de la bobine torique au solénoïde

Bobine torique $R \rightarrow +\infty \Rightarrow$ solénoïde à base C_3 ,

$$\text{donc } \vec{B}_{\text{ext}} = \vec{0}$$

$$\text{et } \vec{B}_{\text{int}} = \lim_{R \rightarrow +\infty} \left(\frac{N \cdot NI}{2\pi r} \right) \vec{z} \text{ pour}$$

la bobine torique.

$$n = \frac{N}{2\pi R} \quad \begin{matrix} \uparrow \\ \text{nbr} \\ \text{de spire/m.} \end{matrix}$$

$$\vec{B}_{\text{int}} = \lim_{R \rightarrow +\infty} \left(\frac{\mu_0 \cdot 2\pi R n I}{2\pi r} \right) \vec{z}$$

→ $R < r < R+a$ pour la bobine torique.

$$1 < \frac{r}{R} < 1 + \frac{a}{R} \quad \begin{matrix} \uparrow \\ \text{1 qd } R \rightarrow +\infty \end{matrix}$$

$$\text{donc } \frac{r}{R} \rightarrow 1$$

$$\vec{B}_{\text{int}} = \mu_0 n I \vec{z}$$

→ solénoïde à base circulaire ou

Programme de PSI → on peut de $\vec{B}_{\text{ext}} = \vec{0}$

$$\begin{matrix} \uparrow r \\ \text{mbr de spire par unité de longueur } n = \frac{N}{l} \rightarrow \text{mbr de spire total} \end{matrix}$$

(3)

Méthod

DOUSSA

BSI

Symétrie plane

Tout plan \perp Oz passant M est plan de sym de D et $\vec{B} \perp$ à ces plans donc $\vec{B} = B(M) \vec{e}_z$

Invariance

Invariance par rotation θ selon Oz et par translation selon Oz

$$\vec{B} = B(r) \vec{e}_z$$

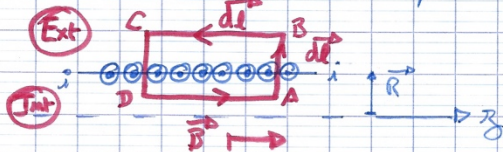
↳ lignes de champ selon z

↳ règle main droite

↳ implique $\operatorname{div} \vec{B} = 0$

Contour

Choix de C contour d'Ampère



$$\oint_C \vec{B} \cdot d\vec{L} = \int_{AB} \vec{B} \cdot d\vec{L} + \int_{CD} \vec{B} \cdot d\vec{L} + \int_{BC} \vec{B} \cdot d\vec{L} + \int_{DA} \vec{B} \cdot d\vec{L}$$

\circ car $\vec{B} \perp d\vec{L}$

$$\text{De } D \text{ à } A \vec{dL} = dz \vec{e}_z$$

$$\oint_C \vec{B} \cdot d\vec{L} = \int_{DA} B(r) dz = B(r) \times l$$

$$I_{int} + NI = mlI$$

$$\hookrightarrow B(r) \times l = \mu_0 n l I \quad B(r) = \mu_0 n I$$

$\vec{B}_{ext} = 0$
 $\vec{B}_{int} = \mu_0 n I \vec{e}_z$

- champ est à l'int! inférieur!
- dip discontinue car distribution surface de courants

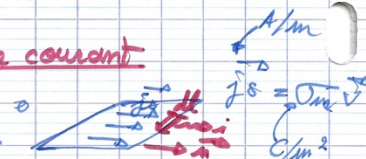
(3)

Nappe os de courants superficielsDistributiona superficique de courant

distribution volumique

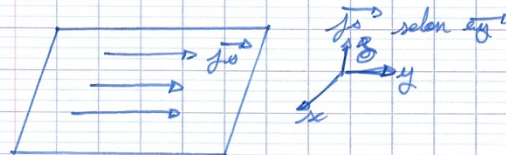
$$di = j_s \cdot dL \text{ m} \quad = \mu_0 n \vec{v} \cdot dL \text{ m}$$

$$\sigma_m = \lim_{\epsilon \rightarrow 0} (l_m) \quad (l_m \text{ tend } \infty)$$



distribution superficique

$$di = j_s \cdot dL \text{ m} \quad = \sigma_m \vec{v} \cdot dL \text{ m}$$

Catal de \vec{B} plan de sym de D

Tout plan $y = c$ est plan de sym et contient M donc $\vec{B} \perp$ à ces plans.

$$\vec{B} = B(y) \vec{e}_x$$

Δ Tout plan $y = c$ est un plan d'anti-symétrie.

\rightarrow invariance par translation selon xc et yc

$$\vec{B} = B(z) \vec{e}_x$$

↳ lignes de champ droites // z

↳ respecte main droite et $\operatorname{div} \vec{B} = 0$

$$\oint \vec{B} \cdot d\vec{l} = \int_B \vec{B} \cdot d\vec{l} + \int_{-z}^z \vec{B}(z) \cdot d\vec{l} + \int_D \vec{B}(-z) \cdot d\vec{l}$$

$$= B(z)l - B(-z)l = 2B(z)l$$

$$I_{int} = j_0 l \quad (car \, d\vec{l} = j_0 d\vec{l} \cdot \vec{n}^\wedge)$$

$$\oint \vec{B} \cdot d\vec{l} = 2B(z)l = \mu_0 j_0 l$$

$$B(z) = \frac{\mu_0 j_0}{2} \quad (E = \pm \frac{0}{2E_0})$$

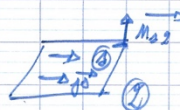
$$\bullet z > 0 \rightarrow \vec{B} = \frac{\mu_0 j_0}{2} \vec{z} \wedge \vec{x}$$

$$\bullet z < 0 \rightarrow \vec{B} = -\frac{\mu_0 j_0}{2} \vec{z} \wedge \vec{x}$$

2) Relation de parage du champ \vec{B}

$$\vec{B}_2 - \vec{B}_1 = \mu_0 \vec{j}^\wedge \wedge \vec{B}_{ext}$$

discontinuité de la composante tangentielle de \vec{B}



IV) Forces de Laplace

1) Distribution volumique de courants ou distribution filiforme et forces

→ Distribution volumique

\vec{B}_ext est uniforme noté \vec{B}



Δ ohp ext! à D!

$$\vec{F}_{élément} = q \vec{v}^\wedge \wedge \vec{B}$$

la force élémentaire qui s'applique sur le volume dV

$$d\vec{F}_L = dq_m \vec{v}^\wedge \wedge \vec{B}$$

$$\frac{d\vec{F}_L}{dV} = \frac{dq_m}{dV} (\vec{v}^\wedge \wedge \vec{B})$$

force volumique

$$= I_m \vec{v}^\wedge \wedge \vec{B} = \vec{j}^\wedge \wedge \vec{B}$$

$$d\vec{F}_L = (\vec{j}^\wedge \wedge \vec{B}) dV \quad \heartsuit$$

→ Distribution filiforme

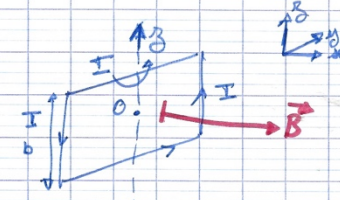


$$d\vec{F}_L = \frac{dq_m}{d\vec{l}} \vec{J} \wedge \vec{B}$$

$$= \frac{I}{l} \frac{dl}{dt} \frac{dl}{dt} \wedge \vec{B}$$

$$d\vec{F}_L = I d\vec{l} \wedge \vec{B} \quad \heartsuit$$

2) Action des \vec{F}_i sur une spire rectangulaire parcourue par I et plongée dans \vec{B} uniforme.



Force résultante

$$d\vec{F}_L = i d\vec{l} \wedge \vec{B}$$

$$\bullet \vec{F}_i = \int_{spire} i d\vec{l} \wedge \vec{B} \rightarrow \vec{B} \text{ uniforme}$$

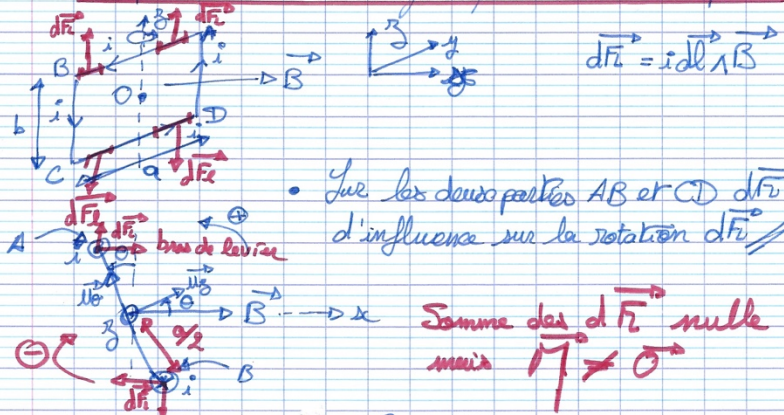
$$= i \left(\int d\vec{l} \right) \wedge \vec{B}$$

$$\vec{F}_L = \vec{0}$$

Khalil
MOUSA
PSI

(4)

→ Couple et moment magnétique associé à la spire



- Sur les deux parties AB et CD $d\vec{F}_1$ n'a pas d'influence sur la rotation $d\vec{F}_1 \parallel (Oz)$

Somme des $d\vec{F}_2$ nulle
mais $\vec{M} \neq \vec{0}$

- Couple résultant des 2 parties DA et BC
 $dM_z = \vec{e}_z \cdot d\vec{F}_2 = dM_z = (\vec{0} \vec{r}_1 \cdot d\vec{F}_2) \cdot \vec{e}_z$

Utilisons le bras de levier :

$$dF_2 = idl B$$

$$dM_z = \vec{e}_z \cdot idl B \times \text{bras de levier}$$

norme force $\frac{dF_2}{dl}$ $\sin \theta$

$$dM_z = \vec{e}_z \cdot idl B \times \frac{a}{2} \sin \theta$$

intégrer sur DA \downarrow

$$M_z = -\frac{a}{2} b \sin \theta \cdot iB$$

Pour les 2 portées DA et BC
 $M_z = 2 \times -\frac{a}{2} b \sin \theta \cdot iB$

$$M_z = -ab b \sin \theta B$$

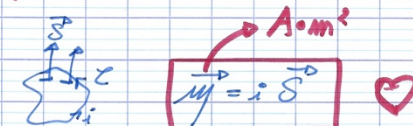
$$\vec{M} = i \vec{S} \wedge \vec{B}$$

avec $\vec{m} = i \vec{S}$ moment magnétique de la spire.

couple subi par un moment \vec{m} dans \vec{B} ext.

IV) Dipôle magnétique ou moment (dipolaire) magnétique

→ Définition :



Remarque : \vec{m} moment magnétique équivalent de la charge ponctuelle pour \vec{E} .

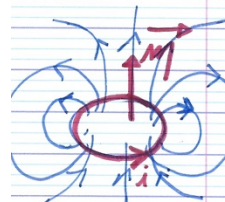
On s'intéresse à une spire circulaire.

→ Champ magnétique créé

• symétries

- pour un point de l'axe, tout plan contenant M et Oz et plan d'anti-sym. $\vec{B} \perp$ à l'intersection de ces plans $\rightarrow \vec{B} \perp$ selon \vec{e}_z .

- pour tout point M dans le plan (xOy) plan de sym. de D (spire). $\vec{B} \perp$ à ce plan $\rightarrow \vec{B} \perp$ selon \vec{e}_z !



$$\vec{B} = \left(\frac{\mu_0}{4\pi} \frac{2\pi i a^2}{r^3} \cos \theta \right) \hat{e}_z$$

$$\left(\frac{\mu_0}{4\pi} \frac{2\pi i a^2}{r^3} \sin \theta \right) \hat{e}_x$$

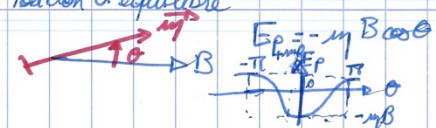
champ est en $\frac{1}{r^3}$

2) Actions subies par un moment magnétique dans \vec{B} ext.

a) Énergie potentielle

$$E_p = -\vec{m} \cdot \vec{B}$$

Position d'équilibre



Position d'équilibre stable $\vec{B} \rightarrow$ mini d' E_p



Position instable



\vec{m} s'oriente selon la direction de \vec{B} !

b) Force résultante et couple

$$\vec{F} = \vec{0} \text{ et } \vec{M} = \vec{m} \wedge \vec{B}$$

Remarque : \vec{B} champ non-uniforme B_{ext}

$$\vec{F} = \text{grad}(\vec{m} \cdot \vec{B})$$

$$\vec{F} = \text{grad } E_p$$

$$\text{Avec } \vec{m} \text{ et } \vec{F} = \vec{m} \cdot \text{grad } \vec{B}$$

La force attire le moment vers les zones de champ fort.

VI) Du moment magnétique atomique à l'antennation

1) Moment magnétique atomique : le magnétom de Bohm

a) Modèle de l'atome d'H et modélisation de la boucle de courant équivalente.

Atom d'H

a_0 rayon de Bohr

$$a_0 \approx 10^{-10} \text{ m}$$



$m = 0$ masse de l'e-

- Force de "cohérence" $F = \frac{-e^2}{4\pi\epsilon_0 a_0^2} \vec{e}_z$ (électrostat)

- Période du mouvement dans ce modèle planétaire

Accélération \rightarrow mouvement circulaire

$$-\frac{v^2}{R} = -\omega^2 R = \omega^2 a$$

$$v = a_0 \omega$$

$$m a_0 \omega^2 = \vec{F}$$

$$\downarrow m a_0 \omega^2 = \frac{-e^2}{4\pi\epsilon_0 a_0^2}$$

$$\downarrow \omega = \sqrt{\frac{e^2}{4\pi\epsilon_0 m a_0^3}}$$

$$T = \frac{2\pi}{\omega} = \frac{2\pi}{\sqrt{\frac{4\pi\epsilon_0 m a_0^3}{e^2}}}$$

$$AN: T = 4 \cdot 10^{-19} \text{ s}$$

- Boucle de courant équivalente



$Pdt \ll T$
dq la charge qui passe unité de temps
 $dq = -e \frac{dt}{T}$

$$\downarrow I = \frac{dq}{dt} = \frac{-e}{T}$$

$$\vec{m} = I S \vec{e}_z = -\frac{e}{T} \pi a_0^2 \vec{e}_z$$

$$\vec{m} = -\frac{e a_0^2 \pi}{2} \vec{e}_z$$

b) Lien entre moment cinétique et moment magnétique

$$\vec{L}_0 = \vec{0} \vec{r}_0 \times \vec{v}_0$$

$$= \alpha_0 m v_0 \vec{e}_z$$

$$\rightarrow \vec{L}_0 = m a_0 \vec{e}_z \omega_0 \vec{e}_z$$

$$\vec{m}^0 = \frac{-e}{2m} \vec{L}_0 = \frac{e}{2m} \vec{L}_0$$

moment cinétique

moment magnétique

rapport

gyrométrique

c) Modèle de Bohr et magnétion

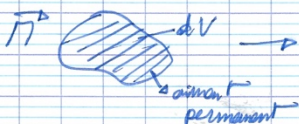
- orbitales stationnaires (sans rayonnement et circulaire)
- quantification de \vec{L}_0 / $\vec{L}_0 = n \hbar \vec{e}_z$ ($n \in \mathbb{N}^*$)

→ donc $\vec{m}^0 = -\frac{e \hbar}{2m} \vec{e}_z$ \vec{m}^0 est quantifiée

ODG $\Rightarrow m^0 = 10^{-23} \text{ A} \cdot \text{m}^2$

d) Aimants permanents

Pour un matériau magnétique les moments microscopiques s'ajoutent. Pour les aimants permanents, ces moments sont permanents !



$$\vec{M}^0 = \frac{d\vec{m}^0}{dV}$$

somme des moments
en $\text{A} \cdot \text{m}^{-2}$

L'alignement des moments microscopiques dans la même direction pour donner un moment global \vec{M} est d'origine quantique pour ces corps ferromagnétiques.

Prenons un matériau "saturé" avec tous ses moments alignés.

M densité en moments microscopiques



1 \vec{m}^0 par atome $\text{per} \cdot \text{de}$
taille a^3

$$M = \frac{1}{a^3} = 10^{23} \text{ m}^{-3}$$

$$M_{\text{sat}} = \frac{dM}{dV} = n \times \mu_B$$

$$M_{\text{sat}} = 10^{23} \times 10^{-23}$$

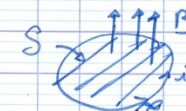
$$M_{\text{sat}} = 10^0 \text{ A} \cdot \text{m}^{-2}$$

\vec{B} fer dense

VII) Inductance d'un circuit et énergie magnétique

1) Inductance propre et énergie magnétique

→ Définition



$$\Phi_{\text{propre}} = \iint_S \vec{B} \cdot d\vec{S}$$

\vec{B} est % à i car théorème d'Ampère

$(\oint \vec{B} \cdot d\vec{l} = \mu_0 I_{\text{int}})$ donc ϕ est % à i !

$$\Phi_{\text{propre}} = L \cdot i$$

L est l'inductance (propre)
en Henry H.

$L > 0$!

→ Exemple du solénoïde ∞



$$n = N/l$$

$$\Phi_{\text{propre}} = N \iint_S B \cdot dS = \mu_0 n \cdot N \cdot S$$

$$\Phi_{\text{propre}} = \frac{\mu_0 N^2 S}{l}$$

$$L = \frac{\mu_0 N^2 S}{l}$$

$$N = 1000 \text{ spires}$$

$$R = 5 \text{ cm}$$

$$S = \pi R^2$$

$$l = 10 \text{ cm}$$

$$L \approx 100 \text{ mH}$$

→ Énergie magnétique

$$E_{\text{énergie}} = \frac{1}{2} L i^2 = \frac{1}{2} \frac{\mu_0 N^2 S}{l} i^2$$

$$\left(B = \mu_0 n i = \frac{\mu_0 N i}{l} \right) = \frac{1}{2} \frac{B^2}{\mu_0} \quad \text{SD}$$

$$U_{\text{énergie}} = \frac{1}{2} \frac{B^2}{\mu_0} \quad \text{SD} \quad \left(\frac{1}{2} \epsilon_0 E^2 \right)$$

deuxième d'énergie !

2) Inductance mutuelle



$$\Phi_{1 \rightarrow 2} = \iint_{S_2} B_1 \cdot dS_2 \quad \text{SD} \quad \Phi_{1 \rightarrow 2} = M i_1$$

flux total qui traverse ①
Donc $\Phi_{1 \rightarrow 2} = \Phi_{\text{propre}, 1} + \Phi_{2 \rightarrow 1}$

$$\Phi_{1 \rightarrow 2} = L i_1 + M i_2$$

$$\text{et } \Phi_{2 \rightarrow 1} = \Phi_{\text{propre}, 2} + \Phi_{1 \rightarrow 2} \Rightarrow \Phi_{2 \rightarrow 2} = L i_2 + M i_1$$

$$\Delta M \leq 0$$

→ Exemple de calcul

$$\Phi_{1 \rightarrow 2} = M i_1$$

$$\Phi_{1 \rightarrow 2} = \iint_{S_2} B_1 \cdot dS_2$$

$$\vec{B}_1 = \frac{\mu_0 I_1}{2\pi r} \vec{e}_0$$

$$\Phi_{1 \rightarrow 2} = \iint_{S_2} \vec{B}_1 \cdot d\vec{S}_2 = dr dz \vec{e}_0$$

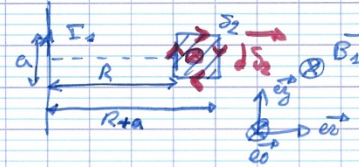
$$\Phi_{1 \rightarrow 2} = \int_R^{R+a} \int_0^a B_1(r) dr dz$$

$$\Phi_{1 \rightarrow 2} = \frac{\mu_0 a}{2\pi} I_1 \int_R^{R+a} \frac{dr}{r}$$

$$\Phi_{1 \rightarrow 2} = \frac{\mu_0 a}{2\pi} \ln \left(\frac{R+a}{R} \right) I_1$$

$\times N$ pour toutes les spires

$$M = \frac{\mu_0 N_1}{2\pi} \ln \left(\frac{R+a}{R} \right)$$



3) Énergie magnétique d'un ensemble de circuits

Kholid
MOUSSA

PST

Énergie propre $U_m = \frac{1}{2} L_i^2$ avec $\phi = L_i$

$$U_m = \frac{1}{2} \dot{\phi}^2$$

On admet qu'on peut généraliser cette relation pour établir l'énergie d'un ensemble de le circuits magnétiques.

$$V_m = \sum_k \frac{1}{L_k} \ln \Phi_k \quad \text{avec } \Phi_k \text{ le flux total qui traverse le circuit } k,$$

$$\phi_{\rightarrow 1} = L_1 i_1 + M_1 i_2$$

$$\phi \rightarrow 2 = L_{2,12} + M_{12}$$

$$U_m = \frac{1}{2} g_{zz} \phi_{zz} + \frac{1}{2} g_{xx} \phi_{xx}$$

$$= \frac{1}{2} g_{zz} (L_{zz} + M_{zz}) + \frac{1}{2} g_{xx} (L_{xx} + M_{xx})$$

$$M_m = \frac{1}{f} L_1 i_1^2 + \frac{1}{g} L_2 i_2^2 + M_{\text{bias}} i_2$$

D'autre par l'énergie magnétique de l'ensemble

$$U_{\text{m}} = \iiint_{V_1} U_{\text{m}} dV = \iiint_{V_1} \frac{B^2}{2\mu_0} dV \quad \text{avec } B = B_1 + B_2$$

→ densité d'énergie magnétique

donc $U_m > 0$!!

$$1/m > 0$$

$$\Rightarrow U_m = i_x^2 \left(\frac{1}{2} L_4 \left(\frac{i_x}{i_0} \right)^2 + M \left(\frac{i_x}{i_0} \right) + \frac{1}{2} L_2 \right)$$

Cette inégalité doit être vraie (H_{ij}, i, j)

i.e. $(T^{\alpha x})$ over $x = i \pm 1/2$

$$\frac{1}{2} L_s x^2 + Mx + \frac{1}{2} L_2 \geq 0$$

$$\Rightarrow M^2 - L_1 L_2 \leq 0 \Rightarrow M \leq \sqrt{L_1 L_2}$$

→ $M_z = 0$ pas de couple

$$\rightarrow M = \sqrt{Ls_2} \text{ couple parfaite}$$